## УДК 535.012

## МОДЕЛИРОВАНИЕ РАСПРЕДЕЛЕНИЯ ИНТЕНСИВНОСТИ СВЕТОВОГО ПОЛЯ В НАНОКОМПОЗИТЕ С ПРОСТОЙ КУБИЧЕСКОЙ СВЕРХРЕШЕТКОЙ, ОБРАЗОВАННОЙ МОНОДИСПЕРСНЫМИ ДИЭЛЕКТРИЧЕСКИМИ ГЛОБУЛАМИ

Филатов Владимир Викторович, к.ф.-м.н., доцент,
Волкова Вероника Валерьевна, студент,
Гавриловец Дарья Александровна, студент,
Кузьмина Катерина Андреевна, студент,
Кулагина Мария Алексеевна, студент,
Чебакова Софья Александровна, студент
Московский государственный технический университет им. Н.Э. Баумана

## SIMULATION OF LIGHT FIELD INTENSITY DISTRIBUTION INSIDE A NANOCOMPOSITE WITH A SIMPLE CUBIC SUPERLATTICE FORMED BY MONODISPERSE DIELECTRIC GLOBULES

Vladimir Filatov, PhD, vvfilatov@bmstu.ru
Veronika Volkova, volkovavv1@student.bmstu.ru
Daria Gavrilovets, gavrilovetsda@student.bmstu.ru
Catherina Kuzmina, kuzminaka2@student.bmstu.ru
Maria Kulagina, kulaginama@student.bmstu.ru
Sofia Chebakova, chebakovasa@student.bmstu.ru
Bauman Moscow State Technical University, Russia

Методом лучевых оптических матриц переноса получено распределение электромагнитного поля в трехмерном фотонном кристалле с простой кубической сверхрешеткой из монодисперсных диэлектрических глобул.

Ключевые слова: фотонный кристалл, световое поле, оптическая матрица переноса, получевое сканирование, запрещенная фотонная зона, поверхностное состояние.

The paper reports ray-by-ray optical-transfer-matrix based simulation results for electromagnetic field distribution in a 3D photonic crystal with a simple cubic super-lattice formed by mono-disperse dielectric globules.

**Keywords:** photonic crystal, light field, optical transfer matrix, ray-by-ray scan, photonic bandgap, surface state.

Фотонные кристаллы – оптические композиционные материалы, обладающие периодической анизотропией показателя преломления с характерным периодом порядка нескольких сотен нанометров [1]. Электромагнитные волны видимого диапазона в таких структурах испытывают многократные переотражения, формируя вдоль некоторых кристаллографических направлений области полной деструктивной интерференции - запрещенные фотонные зоны (стоп-зоны). Отметим, что присутствие стоп-зон в видимой области спектра представляет большой практический интерес, позволяя воспроизвести полупроводниковые эффекты на новой – оптической – материальной базе, что открывает прямой путь к созданию оптического транзистора [2]. В настоящей работе представлены результаты моделирования распространения электромагнитного поля в фотонном кристалле с простой кубической сверхрешеткой из монодисперсных диэлектрических глобул.

На сегодняшний день существует три основных методики расчета оптических полей в фотонном кристалле: 1) аналитическая, в которой работа ведется с дисперсионным соотношением  $\omega =$  $\omega(k)$ , 2) численная, основанная на конечноразностном (FDTD) решении системы уравнений Максвелла, и 3) полуаналитическая, задействующая трансляционные матрицы. Аналитический подход (1) прекрасно работает для толстых (в идеале бесконечных) образцов, в то время как для тонких пленок следует использовать (медленный) прямой численный счет (2). Полуаналитическая методика (3) применима как для кристаллов, так и для пленок, однако ограничивается приближением малоуглового рассеяния, при котором отклонением светового луча от прямолинейного распространения можно пренебречь. Этого, однако, достаточно для решения многих практическиважных задач, таких, например, как определение положения стоп-зон в образце, поиск оптимального дизайна сверхструктуры и/или оптимальной технологии допирования и т.п., поэтому в данной работе применялась модифицированная полуаналитическая малоугловая парадигма.

Рассмотрим световой луч, распространяющийся в образце вдоль некоторого кристаллографического направления, по которому направим ось х. Внутри фотонного кристалла на пути луча встретятся области с различным показателем преломления, которые будем нумеровать индексом *j*, их толщины обозначать как  $a_j$ , а показатели преломления как  $n_i$ . Тогда амплитуда оптического поля E вдоль луча может быть найдена послойным решением волнового уравнения

$$\frac{\partial^2 E}{\partial x^2} - \frac{n^2}{c^2} \frac{\partial^2 E}{\partial t^2} = 0, \tag{1}$$

причем представляет собой в каждой области ј суперпозицию проходящей и отраженной волн:

$$E_j(x,t) = A_j exp\{i[k_j(x-x_j) - \omega t]\} + B_j exp\{-i[k_j(x-x_j) + \omega t]\}.$$
(2)

3десь  $\omega$  — циклическая частота,  $k=\omega n/c$  — волновое число, n=n(x) — локальный показатель преломления, A и B – амплитуды проходящей и отраженной волн,  $c = 3.10^8$  м/с –скорость света в пустоте, а  $x = x_j$  есть координата левой границы области j, от которой отсчитывается локальная фаза.

Уравнение (1) требует от (2) непрерывности и гладкости всюду, в том числе и на стыке *j*-й области с (j+1)-й. Таким образом, в точке  $x = x_{j+1} = x_j + a_j$  должны выполняться следующие условия:

$$\begin{cases}
E_j(x_{j+1},t) = E_{j+1}(x_{j+1},t) \\
\frac{\partial E_j(x,t)}{\partial x}\Big|_{x_{j+1}} = \frac{\partial E_{j+1}(x,t)}{\partial x}\Big|_{x_{j+1}}
\end{cases}$$
(3)

Подстановка (2) в (3) дает систему уравнений

$$\begin{cases} A_{j}exp(ik_{j}a_{j}) + B_{j}exp(-ik_{j}a_{j}) = A_{j+1} + B_{j+1} \\ ik_{j}A_{j}exp(ik_{j}a_{j}) - ik_{j}B_{j}exp(-ik_{j}a_{j}) = ik_{j+1}A_{j+1} - ik_{j+1}B_{j+1} \end{cases}$$

определяющую искомую связь амплитуд в соседних слоях:

$$\binom{A_{j+1}}{B_{j+1}} = \begin{bmatrix} \frac{1}{2} \left( 1 + \frac{k_j}{k_{j+1}} \right) e^{ik_j a_j} & \frac{1}{2} \left( 1 - \frac{k_j}{k_{j+1}} \right) e^{-ik_j a_j} \\ \frac{1}{2} \left( 1 - \frac{k_j}{k_{j+1}} \right) e^{ik_j a_j} & \frac{1}{2} \left( 1 + \frac{k_j}{k_{j+1}} \right) e^{-ik_j a_j} \end{bmatrix} \binom{A_j}{B_j} \equiv M_{j \to j+1} \binom{A_j}{B_j}.$$
 (4)

Здесь  $M_{j\to j+1}$  — лучевая матрица перехода от j-й области к (j+1)-й, задающая распределение амплитуд светового поля в каждой точке на пути луча.

Указанным способом (4) луч за лучом был просканирован весь объем фотонного кристалла, что дало распределение интенсивности светового поля во всем образце (см. рис. 1).

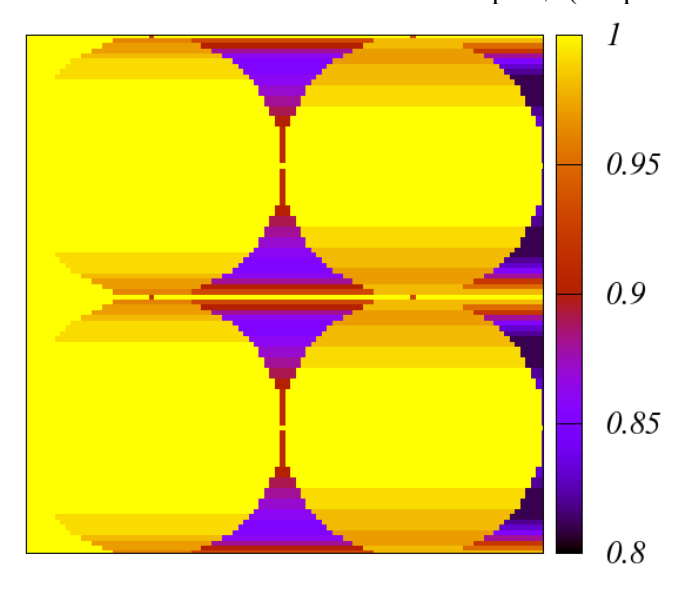


Рисунок — Распределение интенсивности (в единицах интенсивности источника) распространяющегося «вперед» оптического излучения ( $|A_j|^2$ , см. (2)) на длине волны  $\lambda = 500$  нм в фотонном кристалле, сверхрешетка которого образована монодисперсными глобулами диаметра D=250 нм из вещества с показателем преломления n=1,5. В решеточных пустотах воздух

Нами была проведена серия расчетов аналогичных представленному на рис. 1 для различных образцов (варьировался диаметр глобул, их материал, вещество в решеточных пустотах и его возможное распределение по объему, вызванное различными методиками допирования). Для каждого случая было получено распределение интенсивности оптического поля и установлены границы стоп-зон, на краях которых наблюдалась поверхностная локализация поля в оптические состояния высокой интенсивности — поляритонные сингулярности типа ван Хова [3]. Методика продемонстрировала широкие возможности, что позволяет использовать ее в связке с нейросетью для автоматизации поиска оптимальных параметров синтеза и допирования фотонных кристаллов под конкретные задачи, такие как, например, поляритонная ячейка памяти [4] или фотонное арифметико-логическое устройство [5] для фотонного коомпьютера.

## Список использованных источников

- 1. Горелик В.С.. Оптика глобулярных фотонных кристаллов // Квантовая электроника. 2007. Т. 37, № 5. С. 409-432.
- 2. Алексеенко П.О., Волкова В.В., Д.А. Гавриловец, А.Д. Котова, В.В. Филатов. Дисперсия, рефракция и хиральность электромагнитных волн в фотонном кристалле // Сборник научных трудов XIV Международной конференции по фотонике и информационной оптике. М.: НИЯУ МИФИ, 2025. С. 375-376.
- 3. Волкова В.В., М.А. Кулагина, В.В. Филатов. Формирование сингулярностей типа ван Хова при распространении волнового поля в одномерной стратифицированной среде // Тезисы докладов VII Школы-конференции молодых ученых «Прохоровские недели». М.: ИОФ РАН, 2024. С. 83-85.

- 4. Волкова В.В., Д.А. Гавриловец, А.Д. Котова, М.А. Кулагина, В.В. Филатов. Перспективная оптическая ячейка памяти на основе одномерного фотонного кристалла // Тезисы докладов XXIX симпозиума «Нанофизика и наноэлектроника». Нижний Новгород, 2025. С. 565.
- 5. Волкова В.В.. Численное моделирование пленения электромагнитного поля фотонным кристаллом с керровской нелинейностью // Тезисы докладов XXIX симпозиума «Нанофизика и наноэлектроника». Нижний Новгород, 2025. С. 566.